

Полученные результаты позволяют вывести формулы для расчета усредненных характеристик сеток, тканей и т. п. Отметим, что для указанных материалов эффективно применение аппроксимационного метода решения ячеечных задач [7—10].

#### ЛИТЕРАТУРА

1. Санчес-Паленсия Э. Неоднородные среды и теория колебаний.— М.: Мир, 1984.
2. Каламкар А. Л., Кудрявцев Б. А., Партон В. З. Асимптотический метод осреднения в механике композитов регулярной структуры // Итоги науки и техники. Сер. Механика деформируемого твердого тела.— М.: ВИНТИ, 1987.— Т. 19.
3. Gaillie D. Thin elastic and periodic plates // Math. Meth. Appl. Sci.— 1984.— N 6.
4. Дюво Г., Лионс Ж.-Л. Неравенства в механике и физике.— М.: Мир, 1980.
5. Работнов Ю. Н. Механика деформируемого твердого тела.— М.: Наука, 1979.
6. Панасенко Г. П. Осреднение системы уравнений теории упругости для неоднородной пластины // УМН.— 1985.— Т. 40, № 5.
7. Колпаков А. Г. К определению усредненных характеристик упругих каркасов // ПММ.— 1985.— Т. 49, вып. 6.
8. Kolpakov A. G. Mechanics of composite frameworks // Шести национален конгресс по теоретична и приложна механика. Резюмега.— Варна, 1989.
9. Annin B. D., Kalamkarov A. L., Kolpakov A. G. Analysis of local stresses in high modulus fiber composites // Localized Damage Computer—Aided Assessment and Control.— Southampton: Comput. Mech. Publ., 1990.— V. 2.
10. Kolpakov A. G. On dependence of velocity of elastic waves in composite media on initial stresses // IInd World Congr. on Computational Mechanics, Stuttgart, 1990: Extended Abstracts of Lectures.

г. Новосибирск

Поступила 10/V 1990 г.

УДК 534.11 + 539.4

К. С. Адамова, М. А. Каниболотский

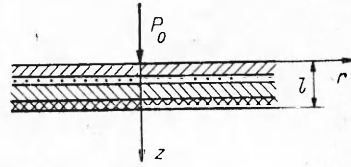
### ОПТИМИЗАЦИЯ СТРУКТУРЫ ВИБРОИЗОЛИРУЮЩЕГО ЭКРАНА ПРИ ДЕЙСТВИИ СОСРЕДОТОЧЕННОЙ ГАРМОНИЧЕСКОЙ НАГРУЗКИ

При падении волны на границу раздела сред с различными физико-механическими свойствами в слоистой среде возникает система отраженных и преломленных волн. Меняя количество, размеры и материалы слоев, можно управлять интенсивностью спектра волнового процесса. Естественно, возникает задача оптимизации структуры слоистой среды при различных критериях оптимизации и ограничениях на характеристики волнового процесса. В ряде работ [1—5] рассматривались вопросы оптимизации структуры многослойных звукоотражающих экранов, причем материалы слоев могли выбираться из заданного конечного набора. Исследовались случаи как нормального, так и наклонного падения плоской акустической волны. Если число и последовательность расположения материалов слоев заранее не заданы, то задача оптимизации формулируется в рамках теории оптимального управления. Для вывода необходимых условий оптимальности и построения алгоритма численных расчетов использовался принцип максимума Понтрягина и аппарат игольчатого варьирования. Эти методы, обобщенные в [5], применялись также при оптимальном проектировании свободноколеблющейся слоистой толстостенной сферы минимальной массы [6], в ряде задач статической термоупругости толстостенных сферических сосудов [7, 8], при проектировании слоистой теплозащиты [5, 9, 10] и волновых электромагнитных фильтров [2]. Во всех упомянутых работах спектральные характеристики волнового процесса зависели от одной пространственной переменной и описывались обыкновенными дифференциальными уравнениями.

В настоящей работе исследуется процесс установившихся колебаний плоского упругослоистого экрана, жестко сцепленного с упругим полупространством, под действием гармонической сосредоточенной силы. Требуется оптимизировать структуру слоистого экрана из условия минимизации суммарного потока мощности волновой энергии в упругое полупространство. Спектральные характеристики волнового процесса будут зависеть от двух пространственных переменных и описываться уравнениями в частных производных. Применяя интегральное преобразование Ханкеля [11] по радиальной координате, удастся сформулировать соответствующую задачу оптимизации для изображений, которые описываются системой обыкновенных дифференциальных уравнений. Получены необходимые условия оптимальности, предложены алгоритм и приведены примеры численных расчетов.

**1. Постановка задачи.** Рассмотрим установившиеся колебания упругослоистого экрана толщины  $l > 0$ , жестко сцепленного с упругим полу-

пространством  $z > l$ , под действием гармонической сосредоточенной силы (см. рисунок). Требуется из конечного набора упругих материалов синтезировать слоистый экран, занимающий область  $0 \leq z \leq l$ , при котором суммарный поток вектора мощности, прошедший в полупространство  $z > l$ , был бы минимальным. Формулировка этой задачи оптимизации в терминах теории оптимального управления предполагает описание, во-первых, управляемой системы, во-вторых, множества управляющих переменных и, в-третьих, функционалов, входящих в критерий минимизации и ограничения.



Роль управляемой системы играют уравнения физического процесса, в данном случае уравнения установившихся колебаний слоистого полупространства. В цилиндрической системе координат при  $r > 0$ ,  $0 \leq z < \infty$  эти уравнения для осевой симметрии имеют вид [11] (множитель  $\exp(i\omega t)$  опущен)

$$(1.1) \quad \frac{\partial G^+}{\partial r} + \frac{\partial \Gamma^+}{\partial z} + \frac{2\mu}{\lambda} \frac{\partial}{\partial r} \left( G^- - 2\mu \frac{\partial U_z}{\partial z} \right) + \rho\omega^2 U_r = 0,$$

$$\frac{\partial G^+}{\partial z} + \frac{1}{r} \frac{\partial}{\partial r} (\lambda r \Gamma^+) + \frac{2}{r} \frac{\partial}{\partial r} (r \Gamma^-) + \rho\omega^2 U_z = 0,$$

где  $G^\pm = 2\mu \frac{\partial U_z}{\partial z} + \lambda \left[ \frac{1}{r} \frac{\partial}{\partial r} (r U_r) \pm \frac{\partial U_z}{\partial z} \right]$ ;  $\Gamma^\pm = \mu \left( \frac{\partial U_r}{\partial z} \pm \frac{\partial U_z}{\partial r} \right)$ .

Условия на границах слоев при  $z > 0$  вытекают из требований непрерывности комплексных амплитуд компонент  $U_r$  и  $U_z$  вектора смещений и непрерывности нормальной  $\sigma_{zz} = G^+$  и касательной  $\sigma_{zr} = \Gamma^+$  компонент тензора напряжений:

$$(1.2) \quad [U_r] = [U_z] = [G^+] = [\Gamma^+] = 0.$$

Так как рассматривается поверхностный источник типа нормальной сосредоточенной силы  $\text{Re}[f(r) \exp(i\omega t)]$ , то граничные условия при  $z = 0$  запишем в форме [11]

$$(1.3) \quad G^+(r, 0) = f(r) = \frac{P_0}{2\pi} \frac{\delta(r)}{r}, \quad \Gamma^+(r, 0) = 0.$$

Коэффициенты Ламе  $\lambda$  и  $\mu$  в (1.1) — кусочно-постоянные функции координаты  $z$ . Краевая задача (1.1)—(1.3) дополняется условием излучения на бесконечности [12].

В задаче множеством управляющих переменных служит множество всевозможных слоистых структур толщины  $l$ , которые можно составить из имеющегося набора исходных материалов. Для описания этого множества поступим следующим образом. Поставим в соответствие каждому материалу его порядковый номер, под которым он расположен в заданном наборе. Введем характеристическую функцию слоистой среды  $u(z)$ , которая в каждой точке  $z \in [0, l]$  принимает целочисленное значение, равное этому порядковому номеру материала, находящегося в данной точке. Функция  $u(z)$  принадлежит классу кусочно-постоянных функций

$$(1.4) \quad u(z) = \{u_s | z_s < z \leq z_{s+1}\}, \quad s = 1, \dots, I; \quad z_1 = 0, \quad z_{I+1} = l,$$

область значений которых состоит из целых чисел от 1 до  $m$

$$(1.5) \quad u_s \in \{1, \dots, m\} = \Lambda,$$

где  $z_s$  ( $s = 2, \dots, I$ ) — границы раздела между слоями;  $I$  — число слоев;  $m$  — число исходных материалов. Так как между множеством слоистых структур и множеством функций  $u(z)$  можно установить взаимно однозначное соответствие, то в качестве управления выбираем характеристическую функцию слоистой среды (1.4), (1.5). Задание  $u(z)$  однозначно

определяет количество, размеры и порядок расположения материалов слоев. Очевидно,  $\lambda = \lambda[u(z)]$ ,  $\mu = \mu[u(z)]$ ,  $\rho = \rho[u(z)]$ .

В качестве минимизируемой величины рассматривается суммарный поток вектора мощности через плоскость  $z = l$  [12]:

$$(1.6) \quad F(u) = \pi\omega \int_0^{\infty} r \operatorname{Im} [\sigma_{zz}(r, l) \bar{U}_z(r, l) + \sigma_{zr}(r, l) \bar{U}_r(r, l)] dr$$

(черта означает комплексную сопряженность).

Математически задача оптимизации формулируется следующим образом: среди функций (1.4), (1.5), заданных на отрезке  $[0, l]$ , найти функцию  $u^{\text{opt}}(z)$ , минимизирующую функционал (1.6); входящие в него функции  $U_r(r, z)$ ,  $U_z(r, z)$ ,  $\sigma_{zr}(r, z)$  и  $\sigma_{zz}(r, z)$  определяются из решения краевой задачи (1.1)–(1.3).

**2. Приведение задачи (1.1)–(1.6) к канонической задаче оптимального управления.** Известно, что трудоемкость решения задач оптимизации резко возрастает с увеличением числа независимых переменных. С другой стороны, искомое управление  $u(z)$  зависит только от одной пространственной переменной  $z$ . Естественно попытаться с помощью интегрального преобразования Ханкеля «свернуть» радиальную координату  $r$  и получить вместо (1.1)–(1.3) систему обыкновенных дифференциальных уравнений относительно изображений исходных зависимых переменных. Представляя решение  $U_r$ ,  $U_z$  в виде

$$(2.1) \quad U_r(r, z) = \int_0^{\infty} J_1(\alpha r) P(\alpha, z) d\alpha, \quad U_z(r, z) = \int_0^{\infty} J_0(\alpha r) S(\alpha, z) d\alpha$$

( $J_0$ ,  $J_1$  — функции Бесселя) и подставив в (1.1), получим для изображений  $P$  и  $S$  систему обыкновенных дифференциальных уравнений второго порядка [11]:

$$(2.2) \quad \begin{aligned} [\mu(P' - \alpha S)]' - \alpha\lambda S' - (\lambda + 2\mu)\eta^2 P &= 0, \\ [(\lambda + 2\mu)S' + \lambda\alpha P]' + \alpha\mu P' - \mu\xi^2 S &= 0. \end{aligned}$$

Здесь  $\eta^2 = \alpha^2 - K_p^2$ ;  $\xi^2 = \alpha^2 - K_s^2$ ;  $K_p = \omega/[(\lambda + 2\mu)/\rho]^{1/2}$ ;  $K_s = \omega/(\mu/\rho)^{1/2}$ ; штрих означает дифференцирование по  $z$ . В результате преобразования (1.3) находим при  $z = 0$  граничные условия для изображений  $P$  и  $S$ :

$$(2.3) \quad \begin{aligned} (\lambda + 2\mu)S' + \lambda\alpha P &= f_0, \quad P' - \alpha S = 0, \quad z = 0 \\ \left( f_0(\alpha) = \alpha \int_0^{\infty} J_0(\alpha r) f(r) r dr = P_0\alpha/(4\pi) \right). \end{aligned}$$

Введем новые переменные  $y_1 = -P/\alpha^2$ ,  $y_2 = S/\alpha$ ,  $y_3 = -\mu(P' - \alpha S)/\alpha^2$ ,  $y_4 = [(\lambda + 2\mu)S' + \lambda\alpha P]/\alpha$ , которые в силу (1.2) остаются непрерывными при переходе через границы раздела слоев. Из (2.2), (2.3) следует, что вектор  $\mathbf{y} = \{y_1, \dots, y_4\}$  удовлетворяет системе первого порядка

$$(2.4) \quad \mathbf{y}'(\alpha, z) = A(\alpha, u)\mathbf{y}(\alpha, z);$$

$$(2.5) \quad y_3(\alpha, 0) = 0, \quad y_4(\alpha, 0) = P_0/(4\pi),$$

где  $A = \|a_{ij}\|$  ( $i, j = 1, \dots, 4$ );  $a_{11} = a_{14} = a_{22} = a_{23} = a_{32} = a_{33} = a_{41} = a_{44} = 0$ ;  $a_{12} = -1$ ;  $a_{13} = \mu^{-1}$ ;  $a_{21} = \alpha^2\lambda(\lambda + 2\mu)^{-1}$ ;  $a_{24} = (\lambda + 2\mu)^{-1}$ ;  $a_{31} = (\lambda + 2\mu)\eta^2 - (\alpha\lambda)^2(\lambda + 2\mu)^{-1}$ ;  $a_{34} = -\lambda(\lambda + 2\mu)^{-1}$ ;  $a_{42} = -\mu(\alpha^2 - \xi^2)$ ;  $a_{43} = \alpha^2$ . Система (2.4) в силу непрерывности вектора  $\mathbf{y}$  справедлива на всем полубесконечном интервале  $0 \leq z < \infty$ . Для ее замыкания граничные условия при  $z = 0$  дополним условиями излучения на бесконечности. Уравнения (2.4) обладают следующими свойствами: 1) элементы матрицы  $A$  определены при  $z \geq 0$ , зависят от исходного управления  $u(z)$  и являются кусочно-постоянными функциями; 2) (2.4) определяет однопараметрическое семейство решений, зависящее от пара-

метра преобразования  $\alpha$ . С помощью приема, описанного в [5], влияние полупространства  $z > l$  на волновую картину в слоистом экране  $0 \leq z \leq l$  можно свести к двум граничным условиям при  $z = l$ . Запишем решение системы (2.4) в области  $z > l$ . Вид решения будет различным в зависимости от того, какой из трех областей принадлежит параметр  $\alpha$ :  $0 \leq \alpha < K_P$ , либо  $K_P \leq \alpha < K_S$ , либо  $K_S \leq \alpha < \infty$ . Например, для первого случая

$$(2.6) \quad \begin{aligned} y_1(\alpha, z) &= A_P \exp [i\gamma_1(z-l)] + i\gamma_2 A_S \exp [i\gamma_2(z-l)], \\ y_2(\alpha, z) &= i\gamma_1 A_P \exp [i\gamma_1(z-l)] + \alpha^2 A_S \exp [i\gamma_2(z-l)], \\ y_3(\alpha, z) &= \mu \{ 2i\gamma_1 A_P \exp [i\gamma_1(z-l)] + \beta A_S \exp [i\gamma_2(z-l)] \}, \\ y_4(\alpha, z) &= \mu \{ \beta A_P \exp [i\gamma_1(z-l)] + 2i\alpha^2 \gamma_2 A_S \exp [i\gamma_2(z-l)] \}. \end{aligned}$$

Здесь  $\gamma_1^2 = K_P^2 - \alpha^2$ ;  $\gamma_2^2 = K_S^2 - \alpha^2$ ;  $\beta = 2\alpha^2 - K_S^2$ ;  $A_P$ ,  $A_S$  — неизвестные произвольные постоянные. Решение в виде (2.6) обеспечивает выполнение условий излучения на бесконечности. Если решение (2.6) записать при  $z = l$ , выразить из первых двух уравнений  $A_P$ ,  $A_S$  и подставить их в третье и четвертое уравнения, то можно получить граничные условия

$$(2.7) \quad \begin{aligned} y_3(\alpha, l) &= g_{11}y_1(\alpha, l) + g_{12}y_2(\alpha, l), \\ y_4(\alpha, l) &= g_{21}y_1(\alpha, l) + g_{22}y_2(\alpha, l), \end{aligned}$$

где  $g_{11} = i\mu\gamma_1 K_S^2 \Delta$ ;  $g_{12} = \mu(\beta + 2\gamma_1\gamma_2)\Delta$ ;  $g_{21} = \alpha^2 g_{12}$ ;  $g_{22} = i\mu\gamma_2 K_S^2 \Delta$ ;  $\Delta = (\alpha^2 + \gamma_1\gamma_2)^{-1}$ . При  $K_P \leq \alpha < K_S$  граничные условия при  $z = l$  имеют тот же вид (2.7), но со следующими значениями  $g_{ij}$  ( $i, j = 1, 2$ ):  $g_{11} = -i\mu\eta K_S^2 \Delta_1$ ,  $g_{12} = \mu(\beta + 2i\gamma_1\eta)\Delta_1$ ,  $g_{21} = \alpha^2 g_{12}$ ,  $g_{22} = i\mu\gamma_1 K_S^2 \Delta_1$ ,  $\Delta_1 = (\alpha^2 + i\gamma_1\eta)^{-1}$ . Как видно из дальнейшего, решения (2.4) для  $\alpha > K_S$  не потребуются. Таким образом, значение  $y(\alpha, z)$  на отрезке  $0 \leq z \leq l$  находится из решения краевой задачи (2.4), (2.5), (2.7).

Чтобы окончательно сформулировать задачу оптимизации в терминах изображений, выразим через них минимизируемый функционал (1.6). Для этого надо по формулам обращения записать значения исходных величин

$$(2.8) \quad \begin{aligned} U_r(r, z) &= - \int_0^\infty \alpha^2 J_1(\alpha r) y_1(\alpha, z) d\alpha, \quad U_z(r, z) = \int_0^\infty \alpha J_0(\alpha r) y_2(\alpha, z) d\alpha, \\ \sigma_{zr}(r, z) &= - \int_0^\infty \alpha^2 J_0(\alpha r) y_3(\alpha, z) d\alpha, \quad \sigma_{zz}(r, z) = \int_0^\infty \alpha J_0(\alpha r) y_4(\alpha, z) d\alpha \end{aligned}$$

и подставить их в интеграл (1.6). Тогда с учетом равенства Парсеваля минимизируемый функционал запишется как

$$(2.9) \quad F(u) = \pi\omega \operatorname{Im} \int_0^\infty \alpha [\bar{y}_2(\alpha, l) y_4(\alpha, l) + \alpha^2 \bar{y}_1(\alpha, l) y_3(\alpha, l)] d\alpha.$$

Непосредственное численное интегрирование (2.8), (2.9) невозможно из-за наличия у подынтегральных функций конечного числа полюсов  $\alpha_k$ , являющихся нулями знаменателя Рэлея  $R(\alpha) = 0$  [11, 12]. Наличие полюсов связано с образованием на поверхности  $z = 0$  и границах слоев волн типа Рэлея и Лява. Число полюсов и величины  $\alpha_k$  зависят, вообще говоря, от структуры слоистой среды и частоты. Можно показать, что

$$\operatorname{Im} \int_{K_S^0}^\infty \alpha [\bar{y}_2(\alpha, l) y_4(\alpha, l) + \alpha^2 \bar{y}_1(\alpha, l) y_3(\alpha, l)] d\alpha = 0.$$

Здесь  $K_S^0 = \omega/(\mu^0/\rho^0)^{1/2}$  — второе волновое число для упругого полупространства  $z > l$ . Отсюда следует, что минимизируемый функционал

имеет вид определенного интеграла

$$(2.10) \quad F(u) = \pi\omega \operatorname{Im} \int_0^{K_S^0} \alpha [\bar{y}_2(\alpha, l) y_4(\alpha, l) + \alpha^2 \bar{y}_1(\alpha, l) y_3(\alpha, l)] d\alpha$$

с подынтегральной функцией, не содержащей полюсов. Окончательно исходную задачу оптимизации сформулируем в канонической понтрягинской форме: среди кусочно-постоянных функций (1.4) с целочисленной областью значений (1.5) требуется найти  $u^{\text{opt}}(z)$  ( $0 \leq z \leq l$ ), минимизирующую функционал (2.10). Входящие в подынтегральное выражение функции  $y_i(\alpha, l)$  ( $i = 1, \dots, 4$ ) находятся при каждом  $0 \leq \alpha \leq K_S^0$  из решения краевой задачи (2.4), (2.5), (2.7).

**3. Необходимые условия оптимальности.** Для вывода этих условий надо построить вариацию функционала (2.10), порожденную вариацией управления  $u(z)$ . Классические методы вариационного исчисления для этого неприемлемы, так как управление  $u(z)$  в силу (1.5) не имеет малых в равномерной норме вариаций. Под возмущенным управлением будем понимать функцию [13]

$$(3.1) \quad u^*(z) = \begin{cases} \vartheta; & z \in M, \vartheta \in \Lambda, \\ u; & z \in [0, l] \setminus M, \end{cases}$$

где  $M \subset [0, l]$  — множество малой меры;  $\operatorname{mes} M = \varepsilon \ll l$ ;  $\varepsilon > 0$  — малая величина первого порядка. Главное приращение функционала (2.10), порождаемое игольчатой вариацией  $\{M, \vartheta\}$ , имеет вид [13]

$$(3.2) \quad \delta F(M, \vartheta) = \int_M [H(y, \psi, u) - H(y, \psi, \vartheta)] dz.$$

Функция Гамильтона

$$(3.3) \quad H(y, \psi, u) = \operatorname{Re} \int_0^{K_S^0} \left[ \frac{1}{\mu} y_3 \psi_1 + \frac{1}{\lambda + 2\mu} y_4 \psi_2 + \frac{2\mu}{\lambda + 2\mu} (y_4 \psi_3 - \right. \\ \left. - \alpha^2 \bar{y}_1 \psi_2) - \rho \omega^2 (y_1 \psi_3 + y_2 \psi_4) + \alpha^2 \frac{4\mu(\lambda + \mu)}{\lambda + 2\mu} y_1 \psi_3 + \right. \\ \left. + \alpha^2 (y_1 \psi_3 + y_3 \psi_4) - (y_2 \psi_1 + y_4 \psi_3) \right] d\alpha.$$

Сопряженная вектор-функция  $\psi = \{\psi_i\}$  ( $i = 1, \dots, 4$ ) находится из решения сопряженной краевой задачи

$$(3.4) \quad \begin{aligned} \psi'(\alpha, z) &= -A^*(\alpha, u)\psi(\alpha, z), \\ \psi_1(\alpha, 0) &= 0, \quad \psi_1(\alpha, l) + g_{11}\psi_3(\alpha, l) + g_{21}\psi_4(\alpha, l) = 2\pi\omega\alpha^3 Q_1, \\ \psi_2(\alpha, 0) &= 0, \quad \psi_2(\alpha, l) + g_{12}\psi_3(\alpha, l) + g_{22}\psi_4(\alpha, l) = 2\pi\omega\alpha Q_2. \end{aligned}$$

Здесь

$$Q_1 = \begin{cases} \operatorname{Im}(g_{11}) \bar{y}_1(\alpha, l), & 0 \leq \alpha \leq K_P^0, \\ \operatorname{Im}(g_{11}) \bar{y}_1(\alpha, l) + \operatorname{Im}(g_{12}) \bar{y}_2(\alpha, l), & K_P^0 < \alpha \leq K_S^0; \end{cases}$$

$$Q_2 = \begin{cases} \operatorname{Im}(g_{22}) \bar{y}_2(\alpha, l), & 0 \leq \alpha \leq K_P^0, \\ \operatorname{Im}(g_{21}) \bar{y}_1(\alpha, l) + \operatorname{Im}(g_{22}) \bar{y}_2(\alpha, l), & K_P^0 < \alpha \leq K_S^0. \end{cases}$$

Если  $u(z) = u^{\text{opt}}(z)$ , то  $\delta F \geq 0$  для всех  $M$  и  $\vartheta \in \Lambda$ . Отсюда вытекают необходимые условия оптимальности в виде принципа максимума Понтрягина: пусть  $u^{\text{opt}}(z)$  — оптимальное управление, минимизирующее функционал (2.10), а  $y(\alpha, z)$ ,  $0 \leq \alpha \leq K_S^0$ ,  $0 \leq z \leq l$  — соответствующее семейство решений краевой задачи (2.4), (2.5), (2.7). Тогда существует семейство решений  $\psi(\alpha, z)$  сопряженной краевой задачи (3.4) такое, что построенная с ее помощью функция Гамильтона (3.3) достигает своего мак-

симального значения по аргументу  $u$  на оптимальном управлении почти при всех  $z \in [0, l]$ :

$$(3.5) \quad H(y, \psi, u^{\text{opt}}) = \max_{u \in \Lambda} H(y, \psi, u).$$

**4. Вычислительный алгоритм.** Вычислительная процедура нахождения оптимального решения состоит в построении минимизирующей последовательности управлений  $u^n(z)$ ,  $n = 1, 2, \dots$ . Переход к следующему приближению состоит в таком выборе множества малой меры  $M$  и значения  $\vartheta \in \Lambda$  на этом множестве, при которых возмущенное управление (3.4) уменьшает функционал (2.10). Существует несколько алгоритмов построения минимизирующей последовательности, которые отличаются друг от друга способом задания множества  $M$ . Приведем один из наиболее эффективных [14]. Пусть известны текущее приближение  $u^n(z)$  и соответствующие решения  $y^n(\alpha, z)$  и  $\psi^n(\alpha, z)$  прямой и сопряженной задач. Разобьем отрезок  $[0, l]$  на достаточно большое число равных интервалов  $\Delta z_i = l/N = \Delta z$  ( $i = 1, \dots, N$ ),  $\Delta z_i = z_{i+1} - z_i$ . Определим  $\tilde{u}(z)$  и  $w(\tilde{u}, z)$ :

$$\tilde{u}(z) = \arg \max_{u \in \Lambda} H(y^n, \psi^n, u),$$

$$w(\tilde{u}, z) = H(y^n, \psi^n, \tilde{u}) - H(y^n, \psi^n, u^n) \geq 0.$$

Очевидно, что вариацию функционала (3.2) можно записать как

$$\delta F = - \int_M w(\tilde{u}, z) dz \leq 0.$$

Если  $u^n$  неоптимально, то можно найти достаточно малое  $M$ , при котором вариация  $\delta F$  станет меньше нуля. Для того чтобы выбрать множество  $M$  наилучшим способом, поступим следующим образом. Обозначим  $w_i = w[\tilde{u}(z_i + \Delta z/2), z_i + \Delta z/2]$  ( $i = 1, \dots, N$ ). Расположим величины  $w_i$  по мере их убывания. В результате получим набор  $w_{j_k}, k = 1, \dots, N$  ( $w_{j_{k+1}} \leq w_{j_k}$ ), где  $j_k$  обозначает номер интервала. Образует множество  $M_i$  ( $i = 1, \dots, N$ ) по правилу

$$M_i = \bigcup_{k=1}^i \Delta z_{j_k}$$

(очевидно,  $\text{mes } M_1 = \Delta z$ ,  $\text{mes } M_N = l$ ) и введем

$$u_i^n(z) = \begin{cases} \tilde{u}; & z \in M_i, \\ u^n; & z \notin M_i. \end{cases}$$

Обозначим  $i^0 = \arg \min_i F(u_i^n)$ . Тогда  $u^{n+1}(z) = u_{i^0}^n(z)$ . Выберем в качестве нового управления  $u^{n+1}(z)$ . Вычислим для него соответствующие  $y^{n+1}, \psi^{n+1}$ , построим новые функции Гамильтона,  $\tilde{u}$  и  $w$  и т. д. Процесс оканчивается, когда  $w_i = 0$ ,  $i = 1, \dots, N$ . Это условие эквивалентно выполнению (3.5).

**5. Примеры расчетов.** Из материалов, приведенных в таблице, требуется синтезировать неоднородный экран общей толщины  $l = 0,1$  м, минимизирующий суммарный поток вектора мощности, прошедший в упругое полупространство  $z > l$ , от воздействия гармонической сосредоточенной силы единичной амплитуды и частоты  $\omega = 2\pi \cdot 2000$  Гц. Свойства упругого полупространства заданы:  $\lambda = 10,66 \cdot 10^9$  Н/м<sup>2</sup>,  $\mu = 1,83 \times 10^9$  Н/м<sup>2</sup>,  $\rho = 917$  кг/м<sup>3</sup>. Интервал  $[0, K_S^0]$  интегрирования по  $\alpha$  при вычислении функции Гамильтона (3.3) разбивался на 10, 15 и 20 частей, а интеграл заменялся соответствующими частичными суммами. При указанных разбиениях значения оценочного функционала различались не более чем на 2%. В результате расчетов оптимальным оказался двухслойный экран: первый слой толщины  $2,4 \cdot 10^{-2}$  м из первого материала

Номер материала	$\mu \cdot 10^{-10}$	$\lambda \cdot 10^{-10}$	$\rho \cdot 10^{-3}$	Номер материала	$\mu \cdot 10^{-10}$	$\lambda \cdot 10^{-10}$	$\rho \cdot 10^{-3}$
1	0,145	1,15	1,20	4	2,50	16,00	2,70
2	2,50	12,22	2,30	5	2,66	14,80	2,50
3	3,90	16,6	2,65	6	2,73	12,30	2,21

и второй толщины  $7,6 \cdot 10^{-2}$  м из четвертого. Эффективность оптимального экрана оценивается величиной  $\theta = F^{\text{opt}}/F_0$ , где  $F^{\text{opt}}$  — суммарный поток вектора мощности в полупространство  $z > l$  в направлении оси  $z$  при наличии оптимального экрана,  $F_0$  — при отсутствии экрана. Для вычисленного примера  $\theta = 0,268$ . Если в приведенном примере сосредоточенная сила действует с частотой  $\omega = 2\pi \cdot 5000$  Гц, то оптимальный экран состоит из четырех слоев: первый  $1,6 \cdot 10^{-2}$  м из первого материала, второй  $2,5 \cdot 10^{-2}$  м из четвертого, третий  $4,4 \cdot 10^{-2}$  м из третьего, четвертый  $1,5 \cdot 10^{-2}$  м из четвертого материала. Эффективность этого экрана равна  $\theta = 0,099$ .

#### ЛИТЕРАТУРА

1. Бабе Г. Д., Гусев Е. Л. Численный метод оптимизации интерференционных фильтров // Численные методы решения задач теории упругости и пластичности: Материалы VIII науч. конф. — Новосибирск: Наука, 1984.
2. Бабе Г. Д., Гусев Е. Л. Математические методы оптимизации интерференционных фильтров. — Новосибирск: Наука, 1987.
3. Адамова К. С., Каниболотский М. А., Яковлева Л. П. Минимизация толщины звукозащитного слоя // Изв. СО АН СССР. Сер. техн. наук. — 1987. — № 18, вып. 5.
4. Адамова К. С., Каниболотский М. А., Яковлева Л. П. Оптимизация структуры звукозащитной панели при наклонном падении плоской волны // Изв. СО АН СССР. Сер. техн. наук. — 1988. — № 19, вып. 1.
5. Каниболотский М. А., Уржумцев Ю. С. Оптимальное проектирование слоистых конструкций. — Новосибирск: Наука, 1989.
6. Алексин В. В. Оптимизация слоистых тел при ограничении на основную частоту собственных колебаний // Динамика сплошной среды: Сб. науч. тр./АН СССР, Спб. отд-ние, Ин-т гидродинамики. — 1984. — Вып. 66.
7. Алексин В. В., Аннин Б. Д., Колпаков А. Г. Синтез слоистых материалов и конструкций. — Новосибирск: ИГ СО АН СССР, 1988.
8. Алексин В. В., Аннин Б. Д. Оптимизация термоупругих слоистых тел // ПМТФ. — 1989. — № 2.
9. Бабе Г. Д., Каниболотский М. А., Уржумцев Ю. С. Оптимизация многослойных конструкций, подверженных периодическим температурным воздействиям // ДАН СССР. — 1983. — Т. 269, № 2.
10. Адамова К. С., Каниболотский М. А., Яковлева Л. П. Минимизация массы цилиндрически-слоистой теплозащитной оболочки // ИФЖ. — 1987. — Т. 53, № 4.
11. Аккуратов Г. В., Дмитриев В. И. Метод расчета поля установившихся упругих колебаний в слоистой среде // ЖВММФ. — 1984. — Т. 24, № 2.
12. Бабешко В. А., Глушков Е. В., Зинченко Ж. Ф. Динамика неоднородных линейно-упругих сред. — М.: Наука, 1989.
13. Федоренко Р. П. Приближенное решение задач оптимального управления. — М.: Наука, 1978.
14. Срочко В. А., Хамидуллин Р. Г. Об оптимальном способе варьирования управления в методах фазовой линеаризации // Вопросы оптимального управления и исследования операций. — Иркутск: Изд-во Иркутск. ун-та, 1988.

г. Якутск

Поступила 26/IV 1990 г.

УДК 539.374

О. А. Волоховская, В. В. Подалков

#### О ПЛАСТИЧЕСКОМ ДЕФОРМИРОВАНИИ ИЗОТРОПНО УПРОЧНЯЮЩЕГОСЯ ПОЛИКРИСТАЛЛИЧЕСКОГО МАТЕРИАЛА

Известно, что особенности упругопластического поведения металлов определяют их поликристаллической структурой. Поэтому вывод уравнения деформирования поликристалла должен основываться на рассмотрении происходящих в его зернах процессов. Экспериментально установлено, что при умеренных температурах пласти-